

VERIFICAÇÃO DE ESQUEMAS ADVECTIVO-DIFUSIVOS 1D COM E SEM MÚLTIPLAS EXTRAPOLAÇÕES DE RICHARDSON

Carlos Henrique Marchi

marchi@ufpr.br

Universidade Federal do Paraná (UFPR)
Departamento de Engenharia Mecânica (DEMEC)
Curitiba, PR, Brasil

Eduardo Matos Germer

emgermer@gmail.com

Universidade Federal do Paraná (UFPR)
Programa de Pós-Graduação em Engenharia Mecânica (PG-Mec)
Curitiba, PR, Brasil

Resumo. *O objetivo do presente trabalho é avaliar o efeito de aproximações numéricas sobre a redução do erro de discretização de soluções obtidas com MER (múltiplas extrapolações de Richardson). Para tanto, resolve-se a equação de advecção-difusão unidimensional com o método de volumes finitos. É considerado um domínio de cálculo de comprimento unitário, discretizado com malhas uniformes. São empregados dez tipos de aproximações numéricas de primeira, segunda e terceira ordens de acurácia, condições de contorno de Dirichlet, solver tridiagonal, malhas com até milhões de nós, precisão quádrupla, número de iterações suficiente para atingir o erro de arredondamento de máquina e até quatorze extrapolações de Richardson. São obtidos resultados para as seguintes variáveis: temperatura no centro do domínio; média do campo de temperaturas; e derivada de primeira ordem da temperatura no contorno. Verificou-se que: (1) MER é extremamente eficiente na redução do erro de discretização para todas as variáveis e aproximações numéricas testadas; (2) a redução do erro resultante do uso de MER é maior quanto maior é o número de nós da malha e quanto maior é o número de extrapolações; e (3) o esquema de diferença central de 2ª ordem é o que apresenta, em geral, o menor erro.*

Palavras-chave: *aproximação numérica, função de interpolação, métodos numéricos, CFD, volumes finitos.*

1 INTRODUÇÃO

A técnica de múltiplas extrapolações de Richardson (MER) foi criada há muito tempo (Richardson, 1910; e Richardson e Gaunt, 1927) com o objetivo de reduzir o erro de discretização (Roache, 1998) de soluções numéricas. Para usar MER é necessário ter a solução numérica da variável de interesse em três ou mais malhas com número de nós diferentes. MER pode ser usado de duas formas. A primeira, para obter o mesmo erro de discretização com uma malha que tem muito menos nós, resultando na redução do esforço computacional (memória e tempo de CPU). A segunda, para reduzir o erro de discretização em uma malha com o mesmo número de nós, resultando em erro muito menor e maior confiabilidade da solução; esta forma é indicada especialmente para se obter *benchmarks*.

Alguns trabalhos (Benjamin e Denny, 1979; Schreiber e Keller, 1983; Erturk *et al.*, 2005) obtiveram ótimos resultados ao empregar MER, motivando a realização do presente trabalho. Porém, estes autores utilizaram este procedimento com no máximo quatro malhas, resultando em até três extrapolações para a malha mais fina usada; e só empregaram esquemas de 2ª ordem de acurácia. Estes trabalhos não tinham como objetivo aperfeiçoar a técnica de MER.

O presente trabalho faz parte de uma linha de pesquisa sobre MER que vem sendo desenvolvida pelos autores. Resultados iniciais podem ser vistos em Marchi *et al.* (2008) e Marchi *et al.* (2009). O objetivo do presente trabalho é avaliar o efeito de aproximações numéricas sobre a redução do erro de discretização de soluções obtidas com MER. Para tanto, resolve-se a equação de advecção-difusão unidimensional com o método de volumes finitos e dez tipos de aproximações numéricas de primeira, segunda e terceira ordens de acurácia (Versteeg e Malalasekera, 2007). São usadas malhas com até milhões de nós, resultando em até quatorze extrapolações de Richardson. São obtidos resultados para as seguintes variáveis: temperatura no centro do domínio; média do campo de temperaturas; e derivada de primeira ordem da temperatura no contorno.

2 MODELO MATEMÁTICO

O modelo matemático considerado neste trabalho é a equação de advecção-difusão unidimensional, com condições de contorno de Dirichlet, muito utilizada em testes de novos modelos matemáticos e funções de interpolação (Ferziger e Peric, 2001), sendo definida por

$$Pe \frac{dT}{dx} = \frac{d^2T}{dx^2}, \quad T(0)=0, \quad T(1)=1, \quad (1)$$

onde Pe = número de Peclet, x = direção coordenada e T = temperatura.

As variáveis de interesse neste trabalho são: (1) a temperatura no centro do domínio, isto é, em $x=1/2$, representada por T_c ; (2) a média do campo de temperaturas, representada por T_m ; (3) a derivada de primeira ordem de T em $x=1$, representada por I ; e (4) a média da norma l_1 do erro de discretização, representada por L . A variável T_c foi escolhida por ser a variável dependente na equação diferencial do problema, ou seja, a variável primária do problema. As variáveis T_m e I foram escolhidas por representarem variáveis secundárias de T , pós-processadas, e que muitas vezes são de interesse por serem, respectivamente, uma média do campo de T e para calcular um fluxo de calor no contorno. A variável L foi escolhida por representar uma média do erro de discretização do campo de T .

A variável L é definida na seção 3. As variáveis T_m e I são definidas matematicamente por

$$Tm = \int_0^1 T(x)dx, \quad (2)$$

$$I = \frac{dT}{dx} \Big|_{x=1}. \quad (3)$$

A solução analítica da Eq. (1) é

$$T = \frac{e^{xPe} - 1}{e^{Pe} - 1}. \quad (4)$$

3 MODELO NUMÉRICO

Com o método dos volumes finitos (Versteeg e Malalasekera, 2007), integrando-se a Eq. (1) sobre o volume de controle genérico P da Fig. 1, obtém-se

$$Pe(T|_e - T|_w) = \frac{dT}{dx} \Big|_e - \frac{dT}{dx} \Big|_w. \quad (5)$$

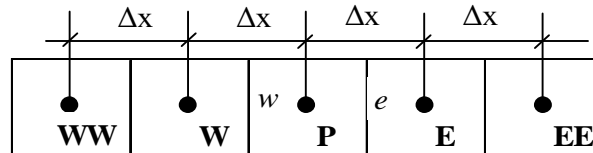


Figura 1 – Malha uniforme 1D com o volume finito genérico P e seus vizinhos

Para aproximar T nas faces oeste (w) e leste (e) de cada volume P, necessários na Eq. (5), foram utilizados os seguintes esquemas, indicando-se junto suas ordens de acurácia:

- UDS (*Upstream Difference Scheme*), 1ª ordem
- Alfa, 1ª ordem
- CDS-2 (*Central Difference Scheme*), 2ª ordem
- UDS-2 (*Upstream Difference Scheme – 2nd order*), 2ª ordem
- QUICK (*Quadratic Upwind Interpolation for Convective Kinematics*), 3ª ordem
- ADS (*Adaptable Difference Scheme*), 2ª ordem
- TVD (*Total Variation Diminishing*), 2ª ordem

Para aproximar a derivada de primeira ordem de T nas faces oeste (w) e leste (e) de cada volume P, necessários na Eq. (5), foram utilizados os seguintes esquemas:

- CDS-2 (*Central Difference Scheme – 2nd order*), 2ª ordem
- CDS-4 (*Central Difference Scheme – 4th order*), 4ª ordem

Para aproximar T e sua derivada de primeira ordem nas faces oeste (w) e leste (e) de cada volume P, necessários na Eq. (5), foram utilizados os seguintes esquemas:

- WUDS (*Weighted Upstream Differencing Scheme*), 2ª ordem
- PLDS (*Power Law Difference Scheme*), 2ª ordem

Com estes sete esquemas advectivos e dois esquemas difusivos, acima, foram formados oito esquemas advectivo-difusivos. Estes juntos com o WUDS e PLDS resultaram nos dez esquemas advectivo-difusivos testados no presente trabalho, que estão resumidos na Tabela 1. Nesta tabela também é apresentado o valor esperado para a ordem assintótica (acurácia) do erro de discretização da solução de T . Daqui em diante, cada esquema advectivo-difusivo é referenciado por sua sigla da Tabela 1.

A forma como os esquemas UDS, CDS2, PLDS e QUICKCDS2 foram usados no presente trabalho pode ser vista em Versteeg e Malalasekera (2007); os esquemas WUDS, TVD e ADS em Marchi (1993); e o esquema Alfa em Marchi et al. (1998). O esquema QUICKCDS4 também envolve esquemas de 3ª ordem para avaliar as derivadas de 1ª ordem da Eq. (5) nas faces próximas aos contornos, nas quais o esquema CDS-4 não pode ser aplicado.

Tabela 1 – Esquemas advectivo-difusivos testados

Sigla	Advecção	Difusão	Ordem assintótica
UDS	UDS	CDS-2	1
ALFA	ALFA	CDS-2	1
CDS2	CDS-2	CDS-2	2
UDS2	UDS-2	CDS-2	2
WUDS	WUDS	WUDS	2
PLDS	PLDS	PLDS	2
ADS	ADS	CDS-2	2
TVD	TVD	CDS-2	2
QUICKCDS2	QUICK	CDS-2	2
QUICKCDS4	QUICK	CDS-4	3

A solução numérica da variável T_c é obtida diretamente dos respectivos nós da malha após a obtenção da solução numérica da Eq. (1); isso é possível porque foram usadas malhas com número ímpar de nós. A solução numérica da Eq. (2), para T_m , foi obtida através de integração numérica pela regra do retângulo (Kreyszig, 1999). A solução numérica da Eq. (3), para I foi obtida através do esquema UDS-2. A média da norma l_1 do erro de discretização (E) foi calculada através de

$$L = \frac{\sum_{P=1}^N |E_P|}{N} = \frac{\sum_{P=1}^N |T_P^{\text{analítico}} - T_P^{\text{numérico}}|}{N}, \quad (6)$$

onde P representa cada um dos N nós da malha.

O método TDMA - *TriDiagonal Matrix Algorithm* (Patankar, 1980) foi usado para resolver os sistemas de equações algébricas. Para os esquemas UDS, ALFA, CDS2, WUDS e PLDS, o TDMA resolve os sistemas de forma direta. No caso dos outros cinco esquemas, a solução é iterativa; para estes esquemas, o processo iterativo foi realizado até ser atingido o erro de arredondamento de máquina.

A solução numérica em cada malha, obtida com o método TDMA, conforme descrito acima, é denominada neste trabalho uma solução sem MER. Utilizando-se estas soluções em diversas malhas e o procedimento descrito em Marchi et al. (2008), são obtidas as soluções numéricas com MER.

4 RESULTADOS

As soluções numéricas foram obtidas com um programa computacional implementado em linguagem Fortran 95 e precisão quádrupla (REAL*16). As simulações foram feitas em um computador que contém um processador Intel Core 2 Quad, 2,4 GHz, 8 GB RAM e Windows XP 64 bits. Para cada um dos dez esquemas, foram obtidas soluções em 15 malhas com $N = 5, 15, 45, \dots$ até 23.914.845 nós. Para o esquema Alfa, considerou-se o coeficiente $\alpha = 0,05$.

4.1 Resultados sem MER

Variável T_c . A Fig. 2 mostra o módulo do erro (E) da solução numérica da variável T_c , para os dez esquemas, em 15 malhas diferentes. Nesta figura e nas seguintes, h representa o tamanho dos volumes de controle (Δx) de cada malha usada. A análise destes resultados mostra que:

- Os esquemas UDS e ALFA têm os maiores erros por serem de 1ª ordem de acurácia.
- O esquema QUICKCDS4 tem os menores erros por ser de 3ª ordem de acurácia.
- Os esquemas UDS2, CDS2, WUDS, PLDS, ADS, TVD e QUICKCDS2 têm níveis de erro intermediários por serem de 2ª ordem de acurácia.

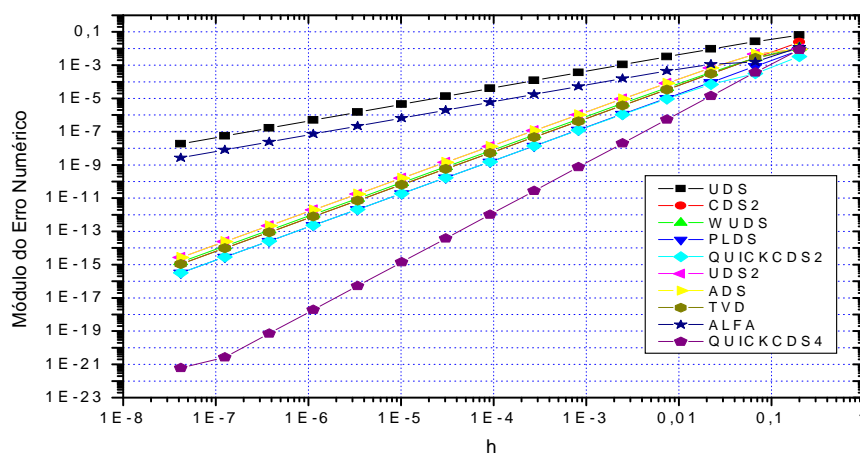


Figura 2 – Erro da solução numérica de T_c sem MER

Variável T_m . A Fig. 3 mostra o módulo do erro (E) da solução numérica da variável T_m . A análise destes resultados mostra que:

- Os esquemas UDS e ALFA novamente têm os maiores erros por serem de 1ª ordem de acurácia.
- O esquema QUICKCDS4 degenerou sua ordem de acurácia para 2ª devido ao erro da integração retângulo ser desta ordem.
- Os demais esquemas continuam a ser de 2ª ordem de acurácia.

Variável I . A Fig. 4 mostra o módulo do erro (E) da solução numérica da variável I . A análise destes resultados, mostra que:

- Os esquemas UDS e ALFA são de 1ª ordem de acurácia.

- O esquema QUICKCDS4 degenerou sua ordem de acurácia para 2ª devido ao erro da aproximação UDS-2 usada no cálculo de I ser desta ordem.
- O esquema QUICKCDS2 continua a ser de 2ª ordem de acurácia.
- Os demais esquemas de 2ª ordem (UDS2, CDS2, WUDS, PLDS, ADS e TVD) degeneraram sua ordem de acurácia para 1ª.

Variável L. A Fig. 5 mostra o módulo do erro (E) do cálculo da variável L . Para ela, valem os mesmos comentários da variável Tc .

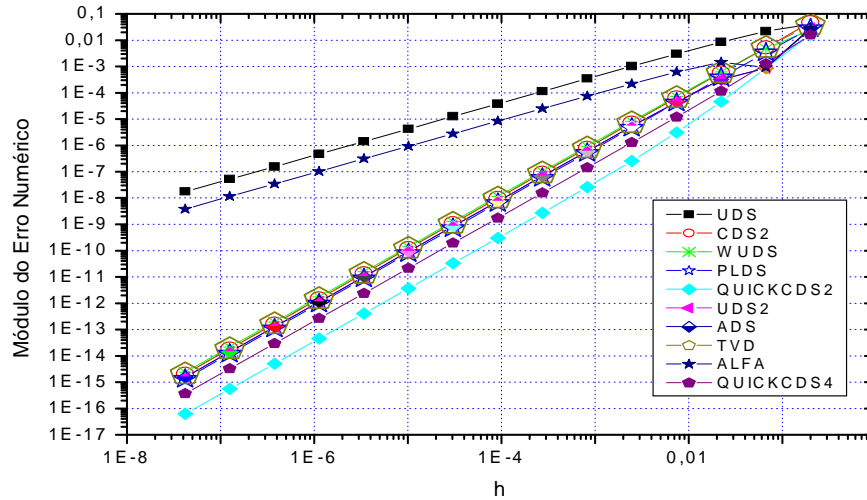


Figura 3 – Erro da solução numérica de Tm sem MER

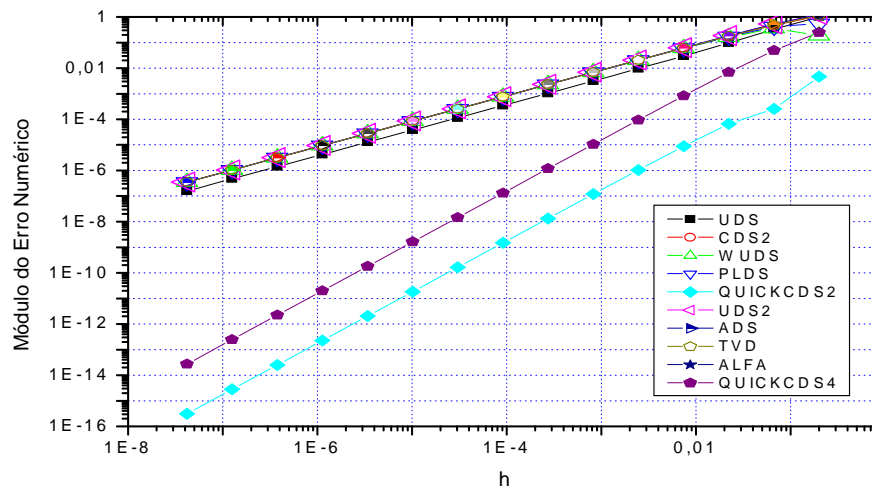


Figura 4 – Erro da solução numérica de I sem MER

4.2 Resultados com MER

Para facilitar a visualização do efeito de MER, foram selecionados três esquemas: um esquema de 1ª ordem (UDS), um de 2ª ordem (CDS-2) e outro de 3ª ordem (QUICKCDS4).

Variável T_c . A Fig. 6 mostra o módulo do erro (E) da solução numérica da variável T_c , para três esquemas sem MER (já mostrados na Fig. 2), denotados por E_h , e os mesmos três esquemas com MER, denotados por E_{mer} . A análise destes resultados, e de outros não apresentados, mostra que:

- Comparando-se as curvas de E_h com E_{mer} da Fig. 6 fica evidente que o uso de múltiplas extrapolações de Richardson (MER) é extremamente eficiente na redução do erro de discretização. Esta redução do erro é maior quanto menor h . Para os esquemas não mostrados na Fig. 6, suas curvas de erro com MER ficam entre as curvas do UDS e CDS2.
- Para h entre 10^{-4} e 10^{-5} m, isto é, entre 10 mil e 100 mil nós, todos os esquemas com MER atingem o nível mínimo do erro numérico, mesmo com precisão quádrupla. Para valores menores de h , o erro de arredondamento passa a dominar o erro numérico. Isso não acontece nos esquemas sem MER: mesmo para o menor h , $4,2 \times 10^{-8}$ m, o erro de arredondamento não aumenta o erro numérico.
- Até mesmo o esquema UDS com MER passa a ter erro menor do que o esquema mais elaborado sem MER, o QUICKCDS4, em malhas com h menor do que $8,2 \times 10^{-4}$ m ou $N > 1215$ nós.
- Exceto nos dois pontos com maior h na Fig. 6, o esquema CDS2 é o que tem o melhor desempenho com MER, isto é, para um mesmo h ele tem o menor erro, até em relação ao esquema QUICKCDS4. A provável explicação para isso é que já na segunda extrapolação (terceiro ponto com maior h na Fig. 6), a ordem teórica da extrapolação do esquema CDS2 já é seis enquanto que a do esquema QUICKCDS4 é cinco. A cada nova extrapolação, a ordem do esquema CDS2 cresce em duas unidades e a do esquema QUICKCDS4, em uma, aumentando a diferença entre as curvas de erro.

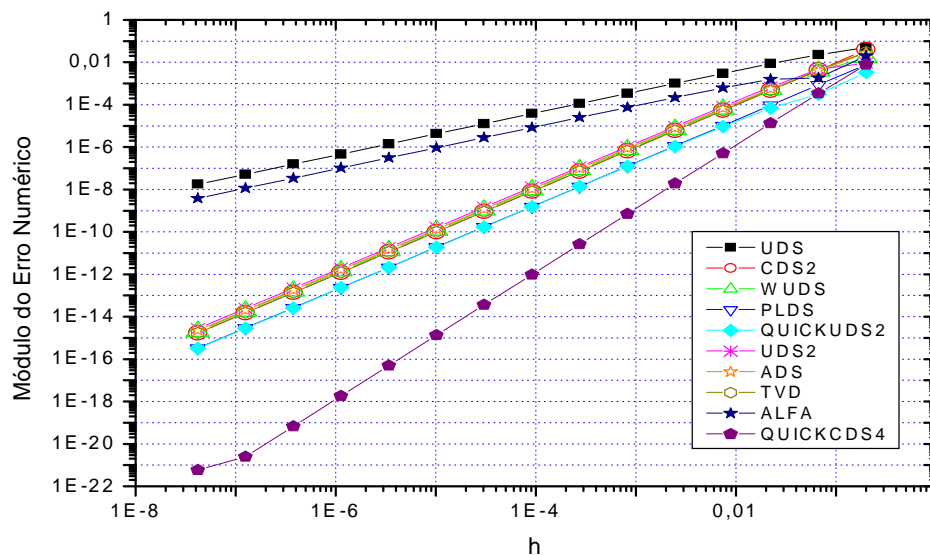


Figura 5 – Erro de L sem MER

As Tabelas 2 e 3 ajudam a mostrar o efeito do uso de MER na redução do erro para a variável T_c ; nestas duas tabelas, a letra “E” representa a notação científica para números. Para três níveis de erro específicos, a Tabela 2 mostra o efeito de MER na redução do número de nós de uma malha para obter o mesmo erro. Por exemplo, para o nível de erro $1E-11$, sem MER é necessário usar a malha com 98.415 nós para atingir aproximadamente este nível de erro, e a malha com 135 nós com MER (três extrapolações); portanto, com MER é necessário uma malha com 729 vezes menos nós. Esta razão entre o número de nós das malhas de Eh e Emer indica o nível de redução do esforço computacional (memória e tempo de CPU) ao se usar MER em relação a não usá-lo.

Para três malhas específicas, a Tabela 3 mostra o efeito da redução do erro de discretização ao se usar MER, medido pela razão Eh/Emer. Por exemplo, para a malha com 45 nós, mesmo com apenas duas extrapolações, o erro com MER já é reduzido em cerca de 2.400 vezes em relação à solução sem MER.

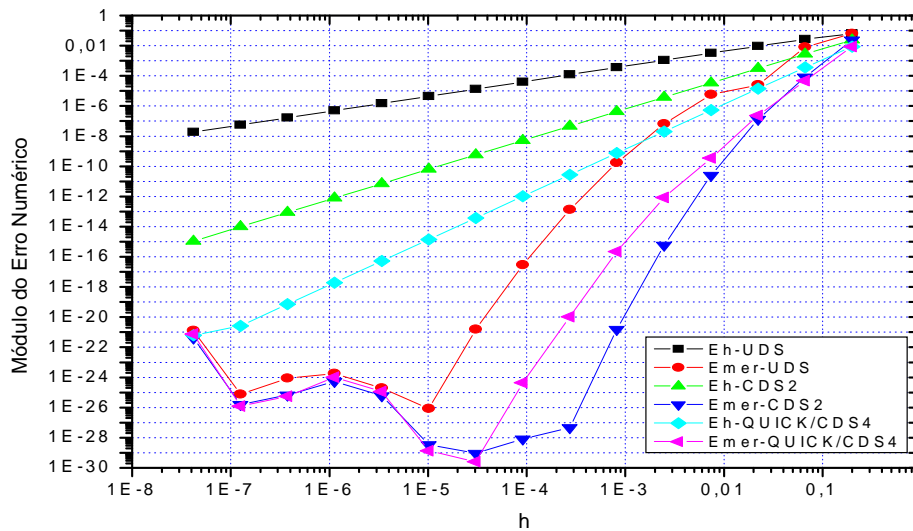


Figura 6 - Erro da solução numérica de T_c com e sem MER

Tabela 2 - Redução de nós de malha para erros fixos, CDS2 e variável T_c

Nível do erro	1E-7	1E-11	1E-15
Malha necessária sem MER (N)	1.215	98.415	7.971.615
Erro sem MER	4,2E-7	6,4E-11	9,8E-15
Malha necessária com MER (N)	45	135	405
Número de extrapolações	2	3	4
Erro com MER	1,3E-7	2,5E-11	5,8E-16
Razão entre o número de nós das malhas sem e com MER	27	729	19.683

Variável T_m . A Fig. 7 mostra o módulo do erro (E) da solução numérica da variável T_m , para três esquemas sem MER (já mostrados na Fig. 3), denotados por Eh, e os mesmos três esquemas com MER, denotados por Emer. Pode-se observar que os resultados da Fig. 7 são

qualitativamente os mesmos da Fig. 6. Portanto, para a variável Tm e Fig. 7, valem os mesmos comentários da variável Tc e Fig. 6.

Tabela 3 - Redução do erro para malhas fixas, CDS2 e variável Tc

Malha	45	1.215	32.805
Erro sem MER (Eh)	3,1E-4	4,2E-7	5,8E-10
Erro com MER (Emer)	1,3E-7	1,6E-21	9,3E-30
Número de extrapolações	2	5	8
Razão Eh/Emer	2,4E3	2,6E14	6,2E19

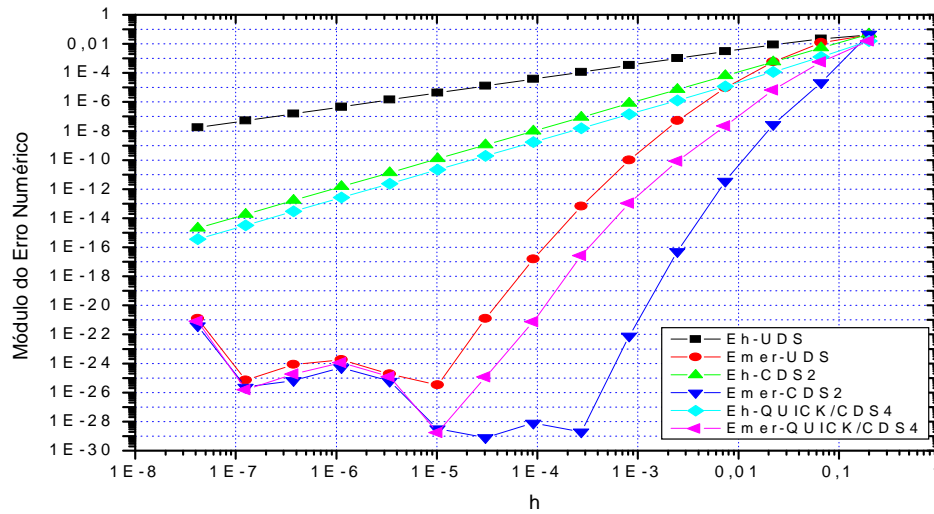


Figura 7 - Erro da solução numérica de Tm com e sem MER

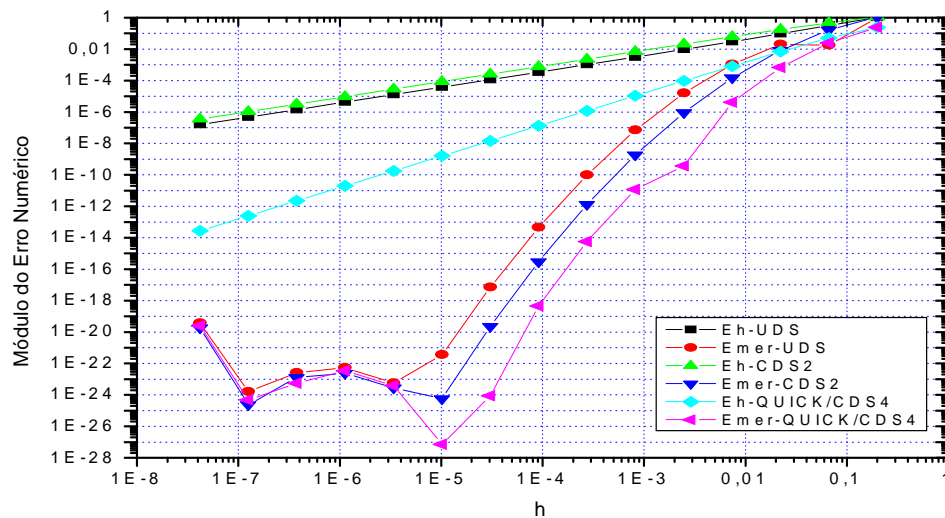


Figura 8 - Erro da solução numérica de I com e sem MER

Variável I. A Fig. 8 mostra o módulo do erro (E) da solução numérica da variável I para três esquemas sem MER (já mostrados na Fig. 4), denotados por Eh, e os mesmos três esquemas com MER, denotados por Emer. Pode-se observar que os resultados da Fig. 8 são qualitativamente os mesmos da Fig. 6, exceto que o esquema QUICKCDS4 com MER tem erro menor do que o CDS2 com MER; provavelmente isso se deva ao fato de que a solução do CDS2 sem MER é de 1ª ordem e a do QUICKCDS4 é de 2ª ordem. Mesmo assim, o esquema CDS2 deve ser preferido em relação ao QUICKCDS4 porque este é muito mais complexo do que o CDS2 e seu uso requer um processo iterativo, o que não ocorre com o CDS2. No restante, para a variável I e Fig. 8, valem os mesmos comentários da variável T_c e Fig. 6.

5 CONCLUSÃO

Neste trabalho, testou-se a técnica de múltiplas extrapolações de Richardson (MER) para reduzir o erro de discretização na solução da equação de advecção-difusão 1D. MER foi empregado em três variáveis de interesse cujas soluções numéricas foram obtidas com dez esquemas advectivo-difusivos.

Com a realização deste trabalho, verificou-se que:

- 1) MER é extremamente eficiente na redução do erro de discretização para todas as variáveis e esquemas advectivo-difusivos testados.
- 2) A redução do erro resultante do uso de MER é maior quanto maior é o número de nós da malha e quanto maior é o número de extrapolações.
- 3) O erro de arredondamento limita a redução do erro numérico ao se usar MER. Para minimizar este problema, deve-se usar precisão quádrupla nos cálculos.
- 4) Em geral, o esquema CDS2 é o que tem o melhor desempenho com MER, isto é, para uma mesma malha ele tem o menor erro.

Agradecimentos

Os autores agradecem o apoio financeiro do Programa UNIESPAÇO, da AEB (Agência Espacial Brasileira), e da Fundação Araucária (Paraná). O primeiro autor é bolsista do CNPq (Conselho Nacional de Desenvolvimento Científico e Tecnológico, do Brasil).

REFERÊNCIAS

- Benjamin, A. S., & Denny, V. E., 1979. On the convergence of numerical solutions for 2-D flows in a cavity at large Re. *Journal of Computational Physics*, vol. 33, pp. 340-358.
- Erturk, E., Corke, T. C., & Gökçöl, C., 2005. Numerical solutions of 2-D steady incompressible driven cavity flow at high Reynolds numbers. *Int. J. Numer. Meth. Fluids*, vol. 48, pp. 747-774.
- Ferziger, J. H., & Peric, M., 2001. *Computational Methods for Fluid Dynamics*. 3 ed. Springer-Verlag.
- Kreyszig, E., 1999. *Advanced Engineering Mathematics*. 8 ed. Wiley.
- Marchi, C. H., 1993. Esquemas de alta ordem para a solução de escoamentos de fluidos sem dispersão numérica. *Journal of the Brazilian Society of Mechanical Sciences*, vol. XV, pp. 231-249.

- Marchi, C. H., Maliska, C. R., & Souza, S. M. A. G. U., 1998. Avaliação de algumas funções de interpolação para escoamentos de fluidos usando volumes finitos. *Journal of the Brazilian Society of Mechanical Sciences*, vol. XX, pp. 340-352.
- Marchi, C. H., Novak, L. A., & Santiago, C. D., 2008. Múltiplas extrapolações de Richardson para reduzir e estimar o erro de discretização da equação de Laplace 2D. XXIX CILAMCE, Maceió.
- Marchi, C. H., Suero, R., & Araki, L. K., 2009. The lid-driven square cavity flow: numerical solution with a 1024x1024 grid. *Journal of the Brazilian Society of Mechanical Sciences and Engineering*, vol. XXXI, 13 pp. (Aceito para ser publicado em 2009.)
- Patankar, S. V., 1980. *Numerical Heat Transfer and Fluid Flow*. Taylor & Francis.
- Richardson, L. F., 1910. The approximate arithmetical solution by finite differences of physical problems involving differential equations, with an application to the stresses in a masonry dam. *Philosophical Proceedings of the Royal Society of London Serial A*, vol. 210, pp. 307-357.
- Richardson, L. F., & Gaunt, J. A., 1927. The deferred approach to the limit. *Philosophical Proceedings of the Royal Society of London Serial A*, vol. 226, pp. 299-361.
- Roache, P. J., 1998. *Verification and Validation in Computational Science and Engineering*. Hermosa.
- Schreiber, R., & Keller, H. B., 1983. Driven cavity flows by efficient numerical techniques. *Journal of Computational Physics*, vol. 49, pp. 310-333.
- Versteeg, H. K., & Malalasekera, W., 2007. *An Introduction to Computational Fluid Dynamics, The Finite Volume Method*. 2 ed. Pearson.